



Laboratorní cvičení z TŘ – R1

Měření a simulace statických, přechodových a
impulsních charakteristik

Zadání:

1. Řízená soustava je popsána přenosovou funkcí

$$F(p) = \frac{b_0}{a_2 p^2 + a_1 p + a_0} \quad (1)$$

Zvolte konkrétní parametry a_i tak, aby odezva soustavy byla:

- (a) aperiodická,
- (b) kmitavá.

a určete diferenciální rovnice odpovídající jednotlivým systémům.

1. Diferenciální rovnice řešte metodou “snížování řádu derivace” a z elementárních prvků Toolbox Simulink (Integrátor, Gain, Sum) vytvořte blokové schéma počítačového modelu pro jeho realizaci. V Simulinku vytvořte počítačový model soustavy a simulační schéma vytiskněte na tiskárně.
2. Počítačový model doplňte prvky pro měření statické charakteristiky (Constant, Display) a tuto charakteristiku změřte. Naměřené hodnoty tabelujte a vynesete do grafu. Z grafu statické charakteristiky stanovte statické zesílení systému.
3. Počítačový model doplňte prvky (Step, Derivative, Scope) a změřte/simulujte přechodovou a impulsní charakteristiku. Grafy charakteristik vytiskněte.
4. Průběh přechodové charakteristiky počítačového modelu kontrolujte výpočtem přechodové funkce. Vypočtené hodnoty vynesete do grafů získaných v ad 4).
5. Z průběhů grafů přechodových charakteristik získaných v ad 4) proveďte identifikaci parametrů modelovaných soustav (statické zesílení, časové konstanty). Identifikované parametry porovnejte se skutečnými hodnotami v zadaných přenosech.
6. Pomocí funkcí Toolbox Control ('tf', 'step' a 'impulse') zadejte v příkazovém řádku Matlabu jednotlivé systémy a vygenerujte jejich přechodovou a impulsní charakteristiku. Grafy charakteristik vytiskněte a porovnejte je s průběhy v ad 4, 5).
7. Proveďte zhodnocení získaných výsledků. Návod: Přenos soustavy zadejte příkazem: `sys=tf(num,den)`, kde num je čitatel a den jmenovatel přenosu soustavy. Časové odezvy získáte příkazy `step(sys)` a `impulse(sys)`.

Máme přenosovou funkci 1. Úpravou rovnice a následnou zpětnou Laplaceovou transformací \mathcal{L}^{-1} získáme požadovanou diferenciální rovnici.

$$\begin{aligned}(a_2 p^2 + a_1 p + a_0)Y(p) &= b_0 U(p), \\ \mathcal{L}^{-1} : a_2 y''(t) + a_1 y'(t) + a_0 y(t) &= b_0 u(t).\end{aligned}\tag{2}$$

1. Pro aperiodickou soustavu jsme zvolili:

$$y''(t) + 5y'(t) + y(t) = 5u(t).\tag{3}$$

2. Pro kmitavou soustavu jsme zvolili:

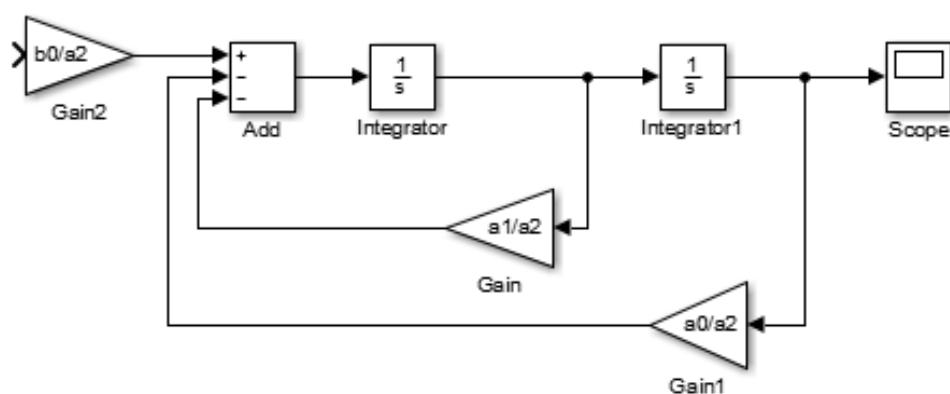
$$y''(t) + 0.2y'(t) + y(t) = 5u(t).\tag{4}$$

1. Úkol

Řešíme diferenciální rovnice “snižováním řádu derivace” vyjádříme člen s nejvyšší derivací:

$$y''(t) = \frac{b_0}{a_2}u(t) - \frac{a_1}{a_2}y'(t) - \frac{a_0}{a_2}y(t). \quad (1.1)$$

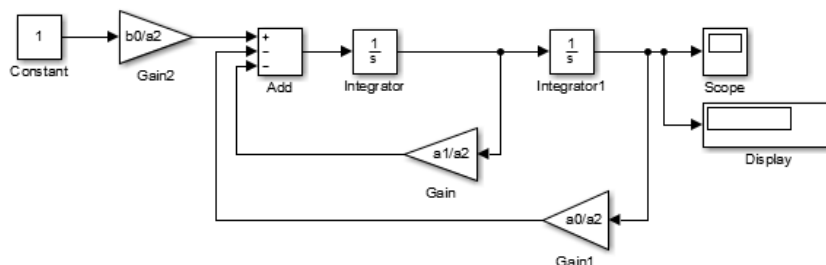
Vzhledem, že mezi $a)$ a $b)$ se mění pouze parametry a_i , tak můžeme ukázat pouze na jediném schématu.



Obrázek 1.1: Schéma modelu

2. Úkol

Přidáme jednotkový vstup a blok pro zobrazení dat ukázáno na obrázku 2.1.



Obrázek 2.1: Schéma modelu

Statická charakteristika vyjadřuje závislost výstupní veličiny $y(t)$ na vstupní veličině $u(t)$. Hodnoty byly odečítány v čase $t = 10$.

Aperiodická soustava

u(10)	1	2	4	8	16
y(10)	4,352	8,703	17,41	34,81	69,62

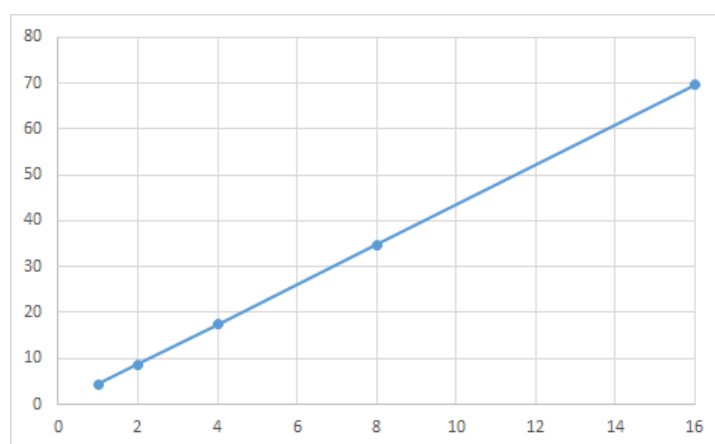
Kmitavá soustava

u(10)	1	2	4	8	16
y(10)	6,679	13,36	26,72	53,43	106,9

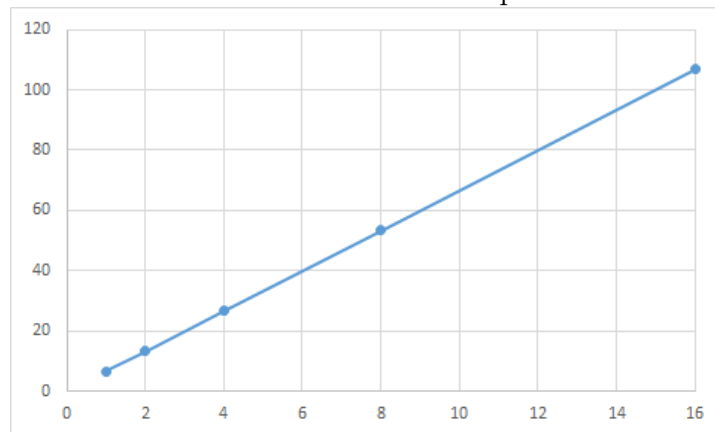
Statické zesílení dostaneme ze vztahu $k = \frac{b_0}{a_0}$.

1. Pro Aperiodickou soustavu: $k = \frac{5}{1}$.
2. Pro Kmitavou soustavu: $k = \frac{5}{1}$.

Získané hodnoty jsou vykresleny na grafu 2.3.



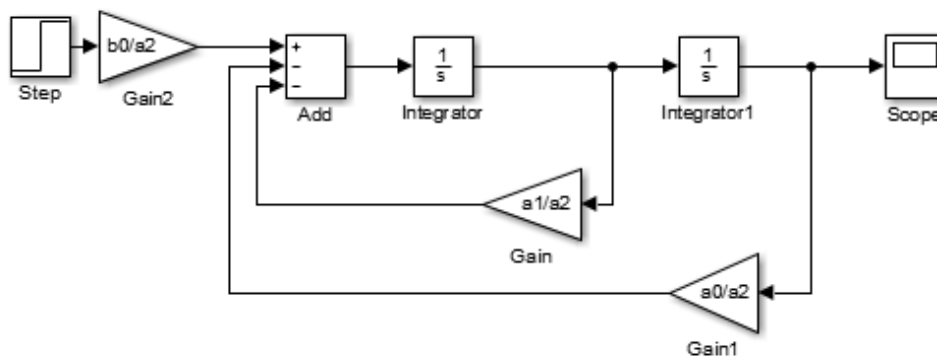
Obrázek 2.2: Statická charakteristika aperiodické soustavy



Obrázek 2.3: Statická charakteristika kmitavé soustavy

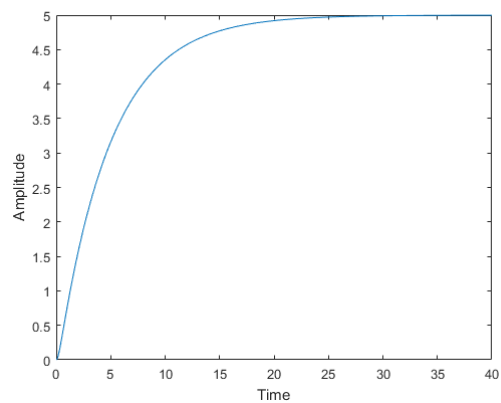
3. Úkol

Přechodová charakteristika je odezva systému na jednotkový skok. Jeho blokové schéma a průběh je následovné.

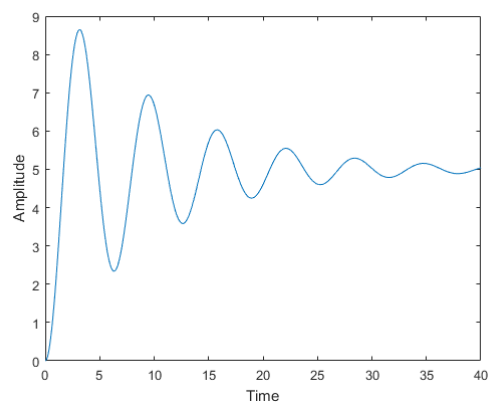


Obrázek 3.1: Schéma modelu pro sledování přechodové charakteristiky

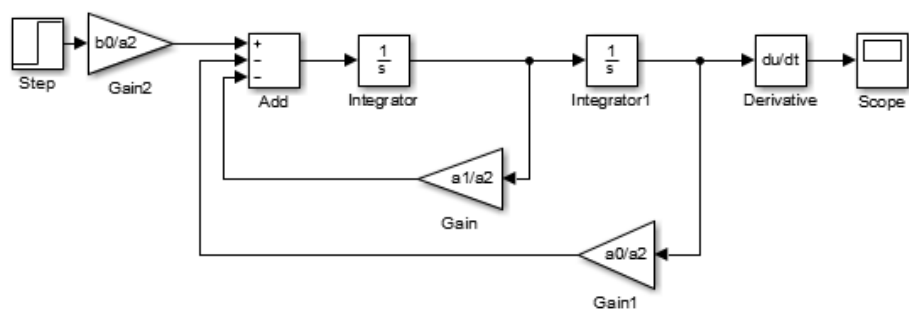
Impulsní charakteristika je odezva systému na jednotkový Diracův impuls. Její průběh dostaneme zderivováním přechodové charakteristiky. Jeho blokové schéma a průběh je následovné.



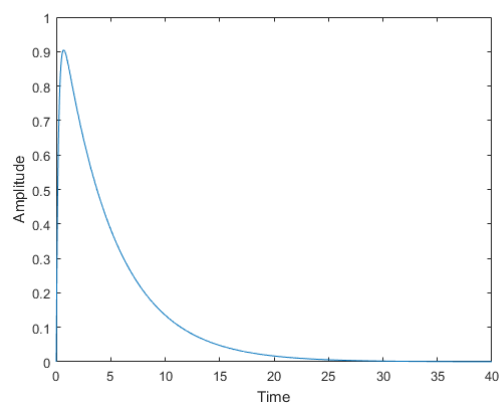
Obrázek 3.2: Přechodová charakteristika aperiodické soustavy



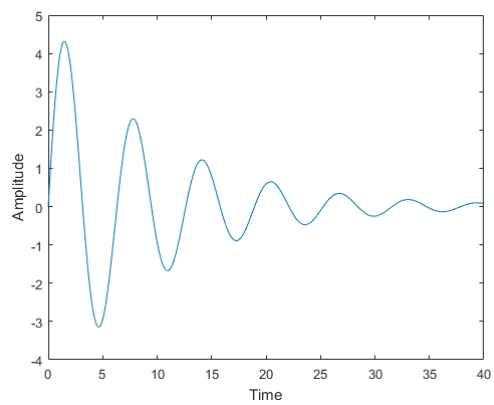
Obrázek 3.3: Přechodová charakteristika kmitavé soustavy



Obrázek 3.4: Schéma modelu pro sledování přechodové charakteristiky



Obrázek 3.5: Impulsní charakteristika aperiodické soustavy



Obrázek 3.6: Impulsní charakteristika kmitavé soustavy

4. Úkol

Zde vypočteme přechodovou funkci $h(t)$. Tu vypočteme zpětnou \mathcal{L}^{-1} transformací obrazu přechodové funkce $H(p)$,

$$H(p) = Y(p) = F(p) * U(p), \quad (4.1)$$

$$U(p) = \mathcal{L}\{1[t]\} = 1/p, \quad (4.2)$$

kde $F(p)$ je přenos a $U(p)$ je vstup. Z tohoto vztahu dostaneme:

$$h(t) = \mathcal{L}^{-1}\{H(p)\} = \mathcal{L}^{-1}\left\{\frac{F(p)}{p}\right\} \quad (4.3)$$

Vypočteme kořeny charakteristického polynomu z rovnice 1, které jsou $p_{1,2} = -\frac{a_1}{2} \pm \frac{\sqrt{a_1^2 - 4a_0}}{2}$.
Dále pro:

1. $a_1^2 > 4a_0$ v našem případě u aperiodické soustavy platí:

$$H(p) = \frac{b_0}{p(p^2 + a_1p + a_0)} = \frac{b_0}{p(p - p_1)(p - p_2)} = \frac{c_0}{p} + \frac{c_1}{p - p_1} + \frac{c_2}{p - p_2}. \quad (4.4)$$

Koeficienty určíme c určíme:

$$c_0 = \frac{b_0}{p_1p_2}, c_1 = \frac{b_0}{p_1(p_1 - p_2)}, c_2 = \frac{b_0}{p_2(p_1 - p_2)}, \quad (4.5)$$

kde už získáme přechodovou funkci jako:

$$h(t) = \frac{b_0}{p_1p_2} + \frac{b_0}{p_1(p_1 - p_2)}e^{p_1t} - \frac{b_0}{p_2(p_1 - p_2)}e^{p_2t} \quad (4.6)$$

2. $a_1^2 < 4a_0$ v našem případě u kmitavé soustavy platí: Máme dvojici komplexně sdružených kořenů.

$$H(p) = \frac{b_0}{p(p^2 + a_1p + a_0)} = \frac{b_0}{p(p + \alpha)^2 + \beta^2} = \frac{c_0}{p} + \frac{c_1\beta}{p(p + \alpha)^2 + \beta^2} + \frac{c_2p + \alpha}{p(p + \alpha)^2 + \beta^2}. \quad (4.7)$$

Metodou neurčitých koeficientů vypočítáme:

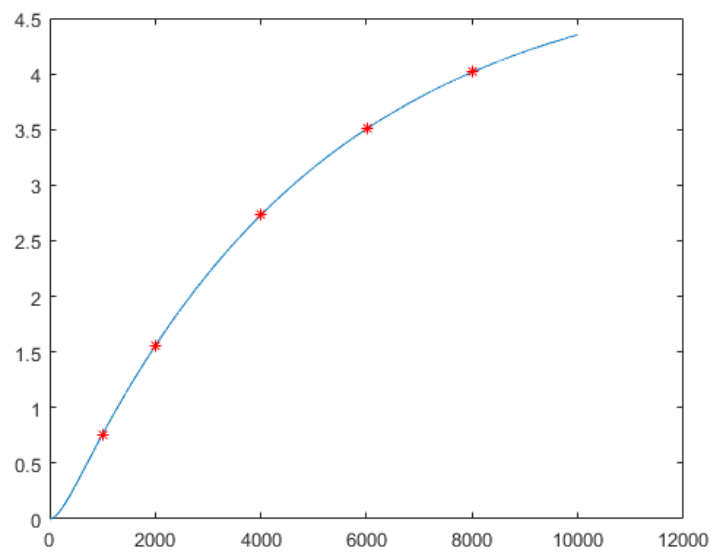
$$c_0 = \frac{b_0}{\alpha^2 + \beta^2}, c_1 = -\frac{\alpha}{\beta} \frac{b_0}{\alpha^2 + \beta^2}, c_2 = -\frac{b_0}{\alpha^2 + \beta^2}, \quad (4.8)$$

a za předpokladu $\alpha^2 + \beta^2 = a_0$

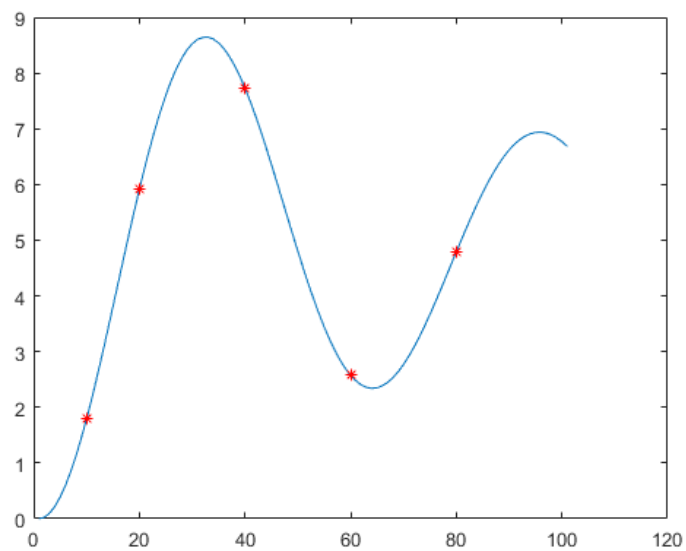
$$h(t) = \frac{b_0}{\alpha^2 + \beta^2} - \frac{\alpha}{\beta} \frac{b_0}{\alpha^2 + \beta^2} e^{\alpha t} \sin(\beta t) - \frac{b_0}{\alpha^2 + \beta^2} e^{-\alpha t} \cos(\beta t) \quad (4.9)$$

Na závěr vykreslíme závislost $h(t)$ na t . Datové body získáme výpočtem.

aperi(1) = 0.7580	kmit(1) = 1.7849
aperi(2) = 1.5556	kmit(2) = 5.9049
aperi(4) = 2.7310	kmit(4) = 7.7317
aperi(6) = 3.5053	kmit(6) = 2.5729
aperi(8) = 4.0154	kmit(8) = 4.7865



Obrázek 4.1: Vypočtené hodnoty vynesené do grafu pro aperiodickou soustavu



Obrázek 4.2: Vypočtené hodnoty vynesené do grafu pro kmitavou soustavu

5. Úkol

Zde porovnáváme skutečné parametry modelovaných soustav, a to statické zesílení a časové konstanty, s parametry z průběhu grafů.

1. Aperiodická soustava: Statické zesílení můžeme vidět na 3.3. Mluvíme o velikosti amplitudy v ustáleném tvaru. Pro náš případ $k = 5$.

Zde statické zesílení vypočítáme z přenosu:

$$F(p) = \frac{b_0}{a_2 p^2 + a_1 p + a_0} = \frac{\frac{b_0}{a_0}}{\frac{a_2}{a_0} p^2 + \frac{a_1}{a_0} p + 1} = \frac{k}{ap^2 + bp + 1}. \quad (5.1)$$

Dosazením dostáváme $k = 5$.

Dále časové konstanty dostaneme ze vztahu:

$$F(p) = \frac{k}{(T_1 p + 1)(T_2 p + 1)}, \quad (5.2)$$

kde $T_1 = -\frac{1}{p_1}$ a $T_2 = -\frac{1}{p_2}$ pro $p_{1,2}$ kořeny charakteristického polynomu. Dosazením získáme: $T_1 = 0.2087$ a $T_2 = 4.7913$.

2. Kmitavá soustava: Statické zesílení určíme obdobně, tedy $k = 5$.

Pro výpočet statického zesílení použijeme stejné vztahy jako u Aperiodické soustavy, tedy dosazením dostáváme: $k = 5$. Ale časové konstanty nemůžeme vyjádřit normálním způsobem neboť kořeny nejsou reálné.

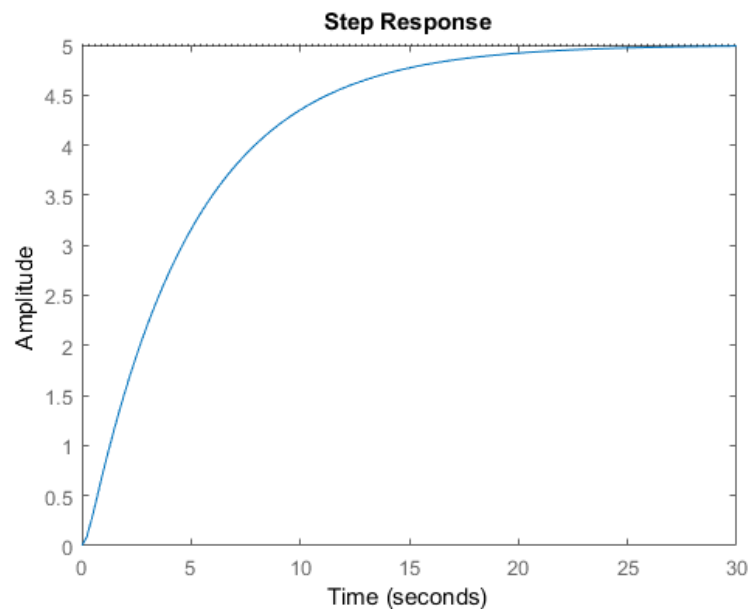
Oboje zesílení přesně odpovídají výpočtům.

6. Úkol

V Matlabu za pomoci funkcí Toolbox Control vykreslíme dané charakteristiky.

1. Stabilní aperiodická soustava

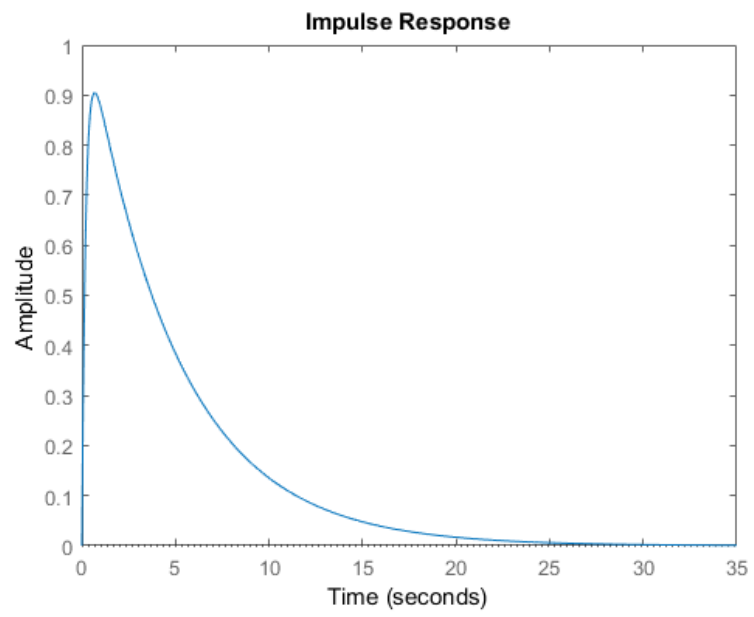
```
>> sys=tf([5],[1 5 1])
sys =
      5
-----
s^2 + 5 s + 1
Continuous-time transfer function.
>> step(sys)
```



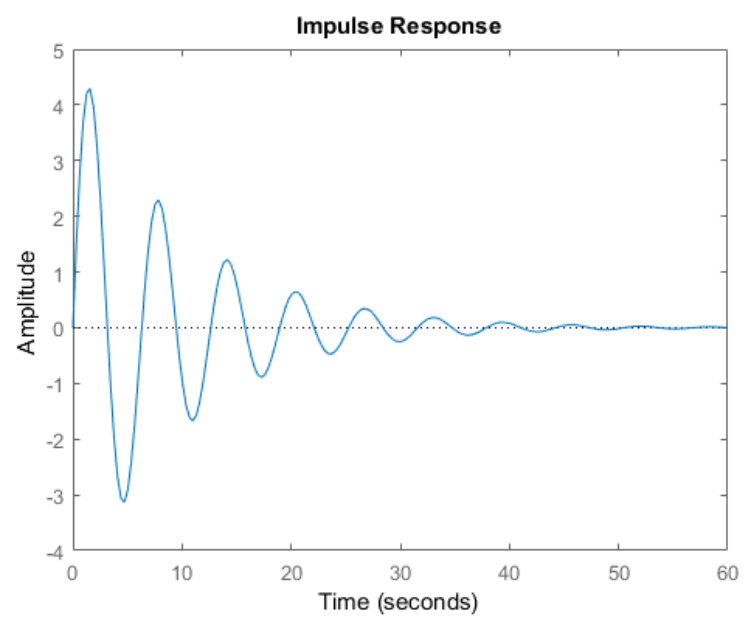
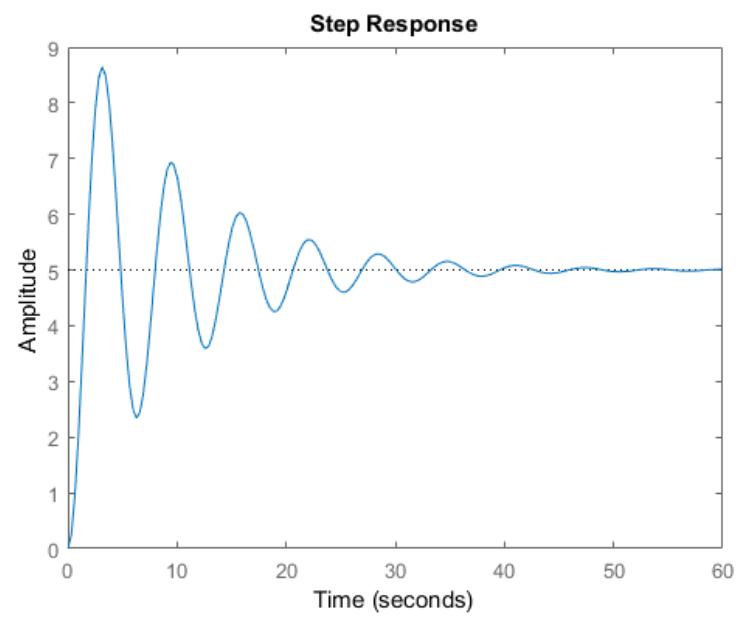
```
>> impulse(sys)
```

2. Stabilní kmitavá soustava

```
>> sys=tf([5],[1 0.2 1])
sys =
      5
-----
s^2 + 0.2 s + 1
Continuous-time transfer function.
>> step(sys)
```



```
>> impulse(sys)
```



Závěr

Grafy přechodových a impulsních charakteristik získané ze simulinku ve 3. části se shodují s grafy z matlabu v 6. části.